

分类号 0175.2 密级 公开

UDC 004.72

学 位 论 文

太阳系外行星系统

从探测到统计刻画

(题名和副题名)

孟泽洋

(作者姓名)

指导教师姓名、职务、职称、学位、单位名称及地址 周济林 教授

南京大学天文与空间科学学院 南京市仙林大道 163 号 210089

申请学位级别 博士 专业名称 天体力学与天体测量

论文提交日期2017年5月10日 论文答辩日期 2017年6月1日

学位授予单位和日期_____

答辩委员会主席： A 教授

评阅人: B 教授

C 副教授

D 教授

E 研究员



南京大學

研究生毕业论文 (申请博士学位)

论 文 题 目 太阳系外行星系统

从探测到统计刻画

作 者 姓 名 孟泽洋

学 科、专 业 方 向 天体力学与天体测量

指 导 教 师 周济林 教授

联 合 导 师 林潮 教授

研 究 方 向 太阳系外行星的探测与统计

2017 年 2 月 17 日

学 号：**DG1326007**

论文答辩日期：**2017 年 6 月 1 日**

指导教师： (签字)

On the Detection and Statistics of Exoplanets

by

Meng Ze-Yang

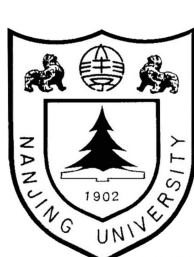
Supervised by

Professor Zhou Ji-Lin (NJU)

Co-supervised by

Professor Douglas Lin (UCSC)

A dissertation submitted to
the graduate school of Nanjing University
in partial fulfilment of the requirements for the degree of
DOCTOR OF PHILOSOPHY
in
Department of Astronomy and Space Science



Department of Astronomy and Space Science
Nanjing University

May 1, 2017

南京大学研究生毕业论文中文摘要首页用纸

毕业论文题目： 太阳系外行星系统
从探测到统计刻画

天体力学与天体测量 专业 2013 级博士生姓名：孟泽洋

指导教师（姓名、职称）：周济林 教授

摘要

关键词：

南京大学研究生毕业论文英文摘要首页用纸

THESIS: On the Detection and Statistics of Exoplanets

SPECIALIZATION: Department of Astronomy and Space Science

POSTGRADUATE: Meng Ze-Yang

MENTOR: Professor Zhou Ji-Lin (NJU)

Abstract

keywords:

前　　言

自诞生以来，人类就从未停止向外界探索以及反思自我。从技术层面上看，在望远镜分辨率与灵敏度被推向极限的同时，科学家们也在考究着生命与宜居行星存在的合理性。现如今太阳系外行星（简称：系外行星）科学领域，与传统的行星科学相比，虽然诞生并未满半个世纪，但也正尝试以「它山之石」—其它恒星周围的行星们，来内窥太阳系行星系统以及生命本身。

近二十年来，随着观测技术的迭代更新，被探测到的系外行星样本也在正加速地扩大，以往得到的基于太阳系行星系统的传统行星形成理论也随之不停地被改进、更正。正当行星的形成阶段一次次地被观测到（如行星形成早期的原行星盘），一些看似与太阳系大不同的系外行星系统（如周期小于十天的热木星）也不断地完善并细化着已知的行星系统动力学作用理论。系外行星领域也正随之如此恰似涓涓细流般启发着人类对太阳系起源与系外生命的认知。

而以上这一切里程碑，正离不开高精度数据预处理与前卫的理论分析和计算，如基于地面的高精度光谱仪 HIRES 和 *Kepler* 太空望远镜等仪器的数据处理流程。此册博士论文也借此尝试从高精度数据处理入手（「中国之星」中的「鬼像」处理），去探寻可能的系外原始行星盘（搜索大麦哲伦云星系中的掩食盘候选体），并且从统计上对现有的热木星系统的形成与潮汐演化作出部分限制（平衡潮汐模型下，热木星轨道法向与宿主恒星自转轴取向不一致性在统计上的物理性质）。

作为一门跨学科领域，如今系外行星也正通往着融合了天体生物和行星大气等多科学的方向发展。*Spitzer* 太空望远镜也已观测到数十颗系外行星大气存在的证据。在不久的将来，光合化学与有机分子化学也会被有效地应用到如何将观测到的光信号转化成生命存在的证据。科学家们也正在摸索中走出一条通往太阳系的起源与太阳系外生命之路，而此刻的人类是否已蓄势待发准备好迎接新的纪元…

目 次

前 言	v
目 次	vii
插图清单	ix
附表清单	xi
1 绪论	1
1.1 引言	1
1.1.1 地球与人类，无独有偶？	1
1.1.2 系外行星的定义	2
1.1.3 系外行星扼要史	3
1.2 探测方法	5
1.2.1 视向速度	6
1.2.2 凌星法	7
1.2.3 天体测量	8
1.2.4 直接成像	9
1.2.5 其他方法	10
1.3 行星形成理论	10
1.3.1 基于太阳系的经典行星形成理论	13
1.3.2 经典理论新挑战：系外行星	15
1.4 本文立意	15
2 数据观测与处理	17
3 行星形成与演化	19
4 统计与性质	21

5 总结与展望	23
致 谢	25
参考文献	27
A 文内常用约定	37
A.1 物理符号含义	37
A.2 首字母缩写	37
B 二体运动	39
简历与科研成果	41
学位论文出版授权书	43

插图清单

1-1	人类从太空看到的赖以居住和生存的母亲行星 — 地球。 (a) Apollo 17 号飞船航向月球的途中宇航员们回望并拍摄到的地球。这张图被称作「蓝宝石」，图中可以清晰的看到南半球的大气云层与被冰雪覆盖的南极点，另外还可看到非洲与亚洲大陆。 (b) Voyager 1 航天器在距离太阳四十亿公里外拍摄到的地球。在最右侧的太阳散射光柱中，地球就只是不到一个像素的小白点，而在这颗蔚蓝的星球上曾居住并流逝着所有的人类足迹。	2
1-1a	Apollo 17 号船员拍摄的南半地球，拍摄时间 1972 年 12 月 7 日。（图片版权：NASA）	2
1-1b	Voyager 1 于 1996 年 9 月 12 日拍摄到的多色合成地球肖像照。（图片版权：NASA/JPL-Caltech）	2
1-2	1995 年，日内瓦天文台天文学家 Mayor 和 Queloz 连续观测恒星 51 Pegsi 得到的视向速度曲线图，观测点已全数叠加至其伴星的周期 4.23 天。该系统主星是一颗类太阳恒星，因此视向速度曲线振幅所对应的最小质量为 $0.47 M_J$ ，系人类首次发现到类太阳恒星周围的短周期类木行星。	4
1-3	系外行星发现数量趋势图，不同颜色代表不同的探测方法（参照 § 1.2），可以看出该数目呈现指数式增长。（图片取自 NASA Exoplanet Archive）	5
1-4	行星对主星造成的视向速度曲线示意图，从左至右分别代表不同的行星偏心率和轨道近心点取向。此图版权归 Perryman M. 所有。	6
1-5	凌星法探测行星示意图，上半部分表示不同的轨道时刻。下方则为整个系统观测到的流量变化。版权 Joshua Winn。	7
1-6	由于行星的存在，宿主恒星的天球坐标随着时间的变化示意图，版权所有：Perryman M。	8

1-7 直接成像法探测系外行星。 (a) 仪器接受类太阳恒星在 10 pc 以外的黑体辐射强度，其余为太阳系行星与热木星在此恒星周围黑体发射与发射的叠加流量。 (b) Keck 望远镜利用角向较差与自适应光学技术直接成像观测到的 HR 8799 系统。	9
1-7a 仪器接受类太阳恒星在 10 pc 以外的黑体辐射（黄色实线），其余为太阳系行星与热木星在此恒星周围黑体发射与发射的叠加流量。在可见光波段行星与主星的对比度可差至十个量级，因此直接成像法一般选择在长波范围（如红外波段）探测系外行星。图片版权 Seager and Deming。	9
1-7b Keck 望远镜利用角向较差成像与自适应光学技术在近红外波段通过直接成像得到的 HR 8799 系统。中心恒星的大部分光已被星冕仪遮挡，留下小部分噪声，与远处四颗行星。图片版权：Marois 等人。	9
1-8 系外行星探测方法大全，图片版权 Michael Perryman。	11
1-9 YSOs 按照红外谱指数划分的四种主要类别，版权所有：Armitage P.	12
1-10 不同星团红外超等效的原（恒）行星盘站所有星团成员的比例。此图可推断星团年龄老于 10 Myr 后，恒星周围的气体盘已近乎完全消散。此图版权所有：Hernández J. 等人。	13
1-11 基于太阳系的传统行星形成理论模型在不同阶段的说明图，其中「米级障碍」属于至今为止的重大难题。图片版权 Michael Perryman。	15

附表清单

- 1-1 太阳系八大行星物理参数与轨道参数，轨道根素值依照 J2000 平赤道参考系，数据取自 NASA/JPL 网站。 14

第一章 緒論

1.1 引言

1.1.1 地球与人类，无独有偶？

由古至今，人类在宇宙中的所处的位置就一直魂牵梦绕着人们的思绪。这个难题既包括了人类居住的地球在空间上究竟是否独特，另一方面也包含人类（或生命）在宇宙中的唯一性与否。而正因人类拥有了实证与思考的能力，因而在这个问题上的观测与探索也从未曾停歇。

首先，行星科学（Planetology）是一门古老的以观测为基础的科学。早在公元前，古希腊等各大文明已有天文学家（如伊巴谷）统计了相当可观的夜空发光天体的运行与方位^[1,2]。而在以托勒密为代表所提倡的地心说主导了这个星球一千多年后，文艺复兴时期的哥白尼等人也通过观测提出了日心说^[3]。自此地球在空间位置谜团便开始层层被揭开，地球的面貌（图 1-1）也愈发完整地展现在了人类面前。

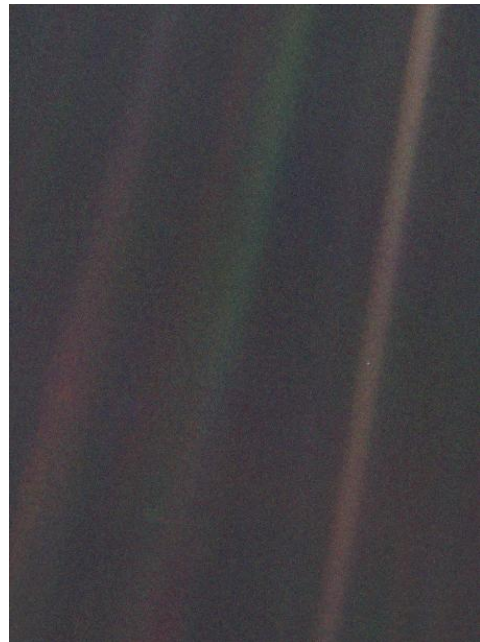
此外，人们往往会展开哲学角度来思考地球与生命在宇宙中普遍与否。比如原子论的宇宙描述早已开端于古希腊与古印度。随后，意大利哲学家 Bruno 亦于 1584 年提出无穷宇宙论：太阳与地球在宇宙中并不特殊，不计其数的其他星体也和地球相差无几（文献 [4]）

Onde possiamo stimare che de stelle innumerabili sono altre tante lune, altre tanti globi terrestri, altre tanti mondi simili a questo.

历史一脉相承至今，随着人们对太阳系内行星与地球的运动探求愈来愈充分，也许便不难理解搜索系外行星与系外生命为何如此举足轻重。而且从技术层面上，人类也已经有足够的能力将「第二颗地球」与「地外生命」放入可见的未来计划中^[5]。



(a) Apollo 17 号船员拍摄的南半球^①，拍摄日期为 1972 年 12 月 7 日。（图片版权：NASA）



(b) Voyager 1 于 1996 年 9 月 12 日拍摄到的多色合成地球肖像照^②。（图片版权：NASA/JPL-Caltech）

图 1-1：人类从太空看到的赖以生存的母亲行星 — 地球。**(a)** Apollo 17 号飞船航向月球的途中宇航员们回望并拍摄到的地球。这张图被称作「蓝宝石」，图中可以清晰的看到南半球的大气云层与被冰雪覆盖的南极点，另外还可看到非洲与亚洲大陆。**(b)** Voyager 1 航天器在距离太阳四十亿公里外拍摄到的地球。在最右侧的太阳散射光柱中，地球就只是不到一个像素的小白点，而在这颗蔚蓝的星球上曾居住并流逝着所有的人类足迹。

1.1.2 系外行星的定义

二十一世纪以前，由于对冥王星的测量并不充分，科学界从传统层面上也似乎没有必要争论如何去界定行星。尔后，随着更多的海外天体（Trans-Neptunian Objects，简称 TNOs）被发现，冥王星是否还是太阳系第九大行星的争辩也愈演愈烈^[6]。终于，国际天文学联合会（International Astronomical Union，简称 IAU）于 2006 年在「B5 决议^③」中给太阳系内的行星做出如下定义：

1. 必须拥有围绕太阳的轨道；
2. 质量应充分大，使得其自引力足够克服刚性力，以形成（近）球外形；
3. 另外，行星必须清空轨道附近的其它天体。

^①<https://www.nasa.gov/content/blue-marble-image-of-the-earth-from-apollo-17>

^②<http://photojournal.jpl.nasa.gov/catalog/PIA00452>

^③https://www.iau.org/static/resolutions/Resolution_GA26-5-6.pdf

根据此定义，冥王星不再属于行星范畴，而被称作一颗矮行星。那如今观测到的近 3500 颗^① 系外行星呢？从词源学上，行星（planet）一词取名自希腊语，那么系外行星（exoplanet）自然也该遵循上述 2006-B5 决议。然而部分系外气态巨行星（Gas Giant）质量已经大于十个木星质量（ M_J ），此类行星的质量上限在 IAU 决议中也并未给出。实际上，早于冥王星争辩，IAU 系外行星工作小组就已规定真实质量小于 $13 M_J$ （或行星内部氘元素热核反应的质量下限^[7]）的行星才被称作系外行星^②。在本文亦一律遵循以上两者来定义系外行星。

1.1.3 系外行星扼要史

人类从诞生之始就默默地注视着夜空的「神行者」——行星。而作为专注于研究系外行星系统的科学（Exoplanetology），其研究对象则跳脱出传统可观测的太阳系各大行星，转向了银河系内太阳周围临近的恒星。回顾历史，这门领域的兴起也并非一蹴即成，而是融入许多先人不停探索、试错与更新的艰辛历程。

近代系外行星搜索开始于十九世纪中页，Jacob 在对 70 Ophiuchi 的天体测量数据中找到类似行星的信号^[8]，然而 Moulton 后续观测立即证否了这颗行星^[9]。在随后的一个世纪内，对木星质量的系外行星探索逐渐变得活跃，如 van de Kamp 于 1963 年将仪器系统信号误认为一颗围绕巴纳德恒星的行星（文献 [10]）。

另外一面，Struve 在 1952 年提出短周期类木系外行星可同时通过视向速度与测光探测的设想^[11]。然而科学界当时理所当然都以为木星只能处在距离主星 5 AU 轨道上，因此需要太长的时间跨度来确认探测^③。不过，恒星光谱学依然在其间飞速发展，HD 114762 被发现拥有一颗非常接近系外行星质量上限的褐矮伴星^[12]。

此时，来自美国的二人团队 Wolszczan 和 Frail 于 1992 年利用射电脉冲信号的周期变化率在脉冲星 PSR1257+12 周围率先成功探测到包含两颗约 $3 M_{\oplus}$ 行星的行星系统^[13]。而 Walker 等人则在对主序恒星长达 12 年的视向速度监测中，宣布没有迹象表明他们嗅探到系外木星信号^[14]。

^① 来源 NASA Exoplanet Archive <http://exoplanetarchive.ipac.caltech.edu/index.html>，数据库更新至 2017 年 2 月 14 日

^② 请查看链接 <http://home.dtm.ciw.edu/users/boss/IAU/div3/wgesp/>

^③ 一般来说，由于引力所造成的周期信号被连续确认三个周期以上便被认为是真实的天体信号。

同一年，来自瑞士日内瓦天文台的 Mayor 和 Queloz 做出了系外行星领域里程碑式的发现（文献 [15]）：他们利用坐落在法国 Haute-Provence 天文台的 ELODIE 光谱仪从 150 颗恒星样本中成功探测到第一颗类太阳恒星周围的行星 — 51 Peg b（见图 1-2）。这颗轨道周期只有 4.23 天的类木行星于同一年被美国 Marcy 和 Butler 团组证实，随后便引起了对此类行星（即热木星）形成理论机制广泛而又深远的讨论（§ 1.3），一直延续至今。

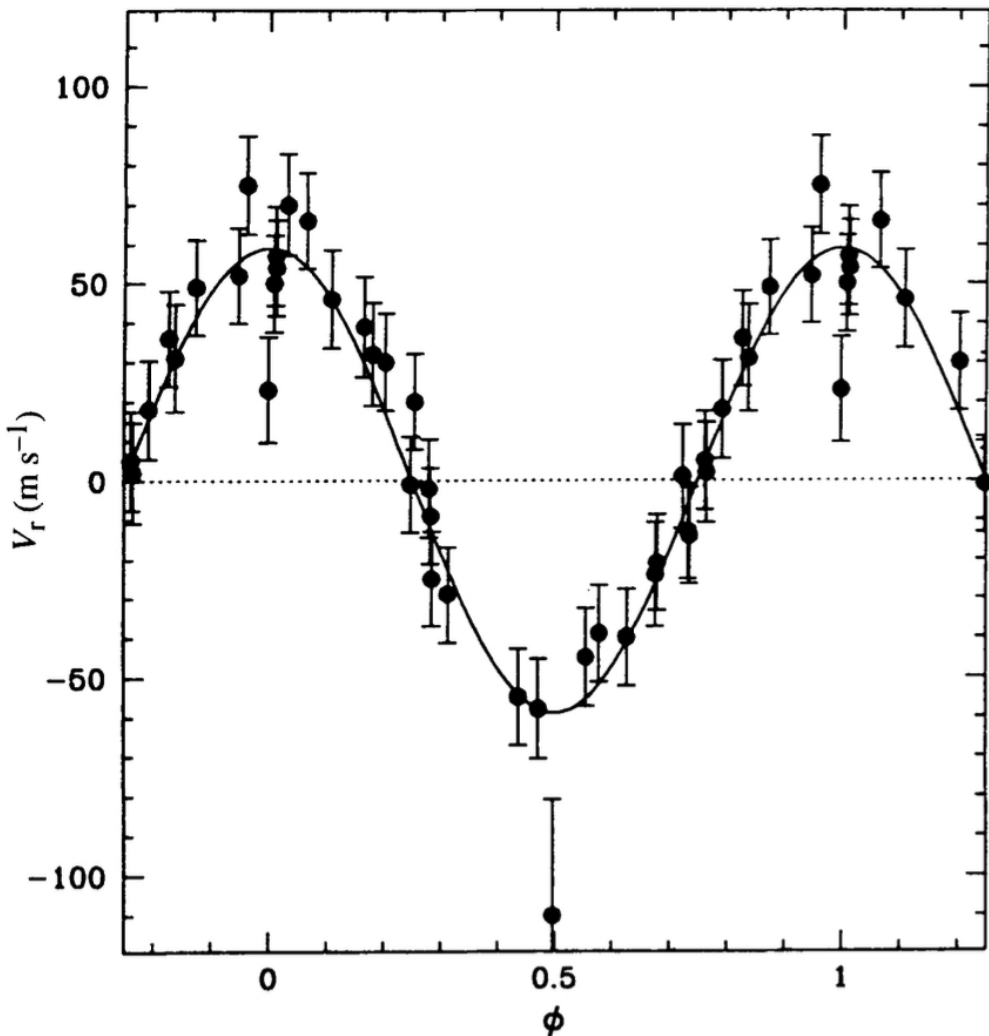


图 1-2：日内瓦天文台天文学家 Mayor 和 Queloz 连续观测恒星 51 Pegasi 得到的视向速度曲线图，观测点已全数叠加至其伴星的周期 4.23 天。该系统主星是一颗类太阳恒星，因此视向速度曲线振幅所对应的最小质量为 $0.47 M_J$ ，系人类首次发现到类太阳恒星周围的短周期类木行星。图片取自他们于 1995 年发表在自然杂志的文献 [15]。

紧随其后的二十年内，系外行星领域各大新奇发现此起彼伏。图 1-3 为年度新发现系外行星数目柱状图，该数目明显呈现出指数式增长，尤其是 2009 年

Kepler 太空望远镜^[16] 的发射新带来了大批通过凌星法发现的系外行星。图 1-3 中所展现的愈加多样化的样本也极大地丰富了我们对系外行星的认知。

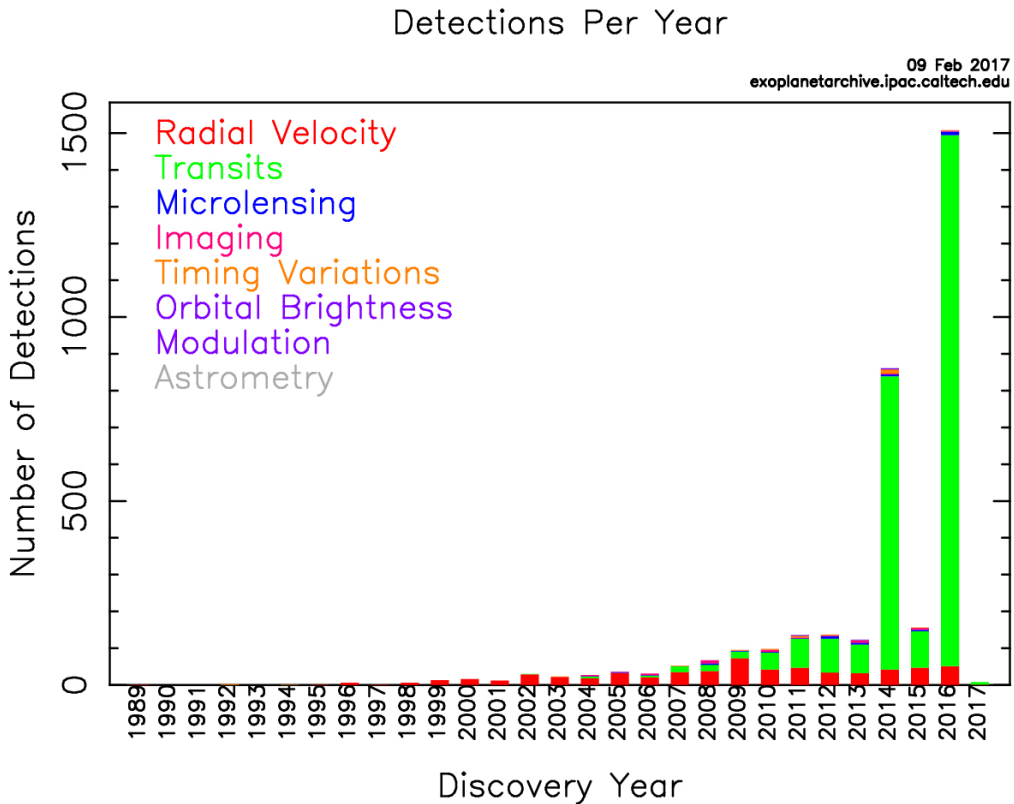


图 1-3: 系外行星发现数量趋势图，不同颜色代表不同的探测方法（参照 § 1.2），可以看出该数目呈现指数式增长。（图片取自 NASA Exoplanet Archive）

1.2 探测方法

天文学所研究的天体普遍离地球遥远，因而观测手段也主要集中在分析天体发射的光子上。观测系外行星相较与恒星或太阳系内行星，通常要求非常高分辨率、灵敏度和稳定性的仪器，也因而会遇到诸多困难，甚至还得排除恒星自身活动的干扰。比如测量围绕类太阳的系外地球需要精度为 1 m s^{-1} 的视向速度测量，相当于使用分辨率为 $R = 100,000$ 的光谱仪器探测主星光谱约 10^{-6} 的移动大小。参考书籍 [17]，本文亦大致罗列目前探测系外行星主要方法如下：

1.2.1 视向速度

假使恒星周围存在行星，那么它们便会同时绕着公共的质心（COM）做开普勒运动。在观测中，这种三维运动可分解为视线平面内的二维运动与视线方向上的运动。视向速度（Radial Velocity，简称 RV）法就是通过测量视线方向上恒星谱线的多普勒红（蓝）移来探测周围行星的存在。

在简单的二体运动中，可以得到一颗轨道半长径为 a ，质量为 M_p 的行星，可对质量为 M_s 的宿主恒星造成如下大小的半振幅视向速度 K_1 （单位：米每秒）：

$$K_1 \simeq \frac{28.4}{\sqrt{1-e^2}} \frac{M_p \sin i}{M_J} \left(\frac{M_p + M_s}{M_\odot} \right)^{-1/2} \left(\frac{a}{1\text{AU}} \right)^{-1/2} \quad (1-1)$$

其中各物理量的意义参见附录B。由上式可知，视向速度方法最重要的缺陷即它只能测量（或拟合）出行星的最小质量（Minimum Mass，即 $M_p \sin i$ ）因为行星的轨道倾角 i 或视线方向夹角无法被测量。但与此同时，视向速度最明显优势是它可以精确测量行星的轨道偏心率 e （图 1-4）。

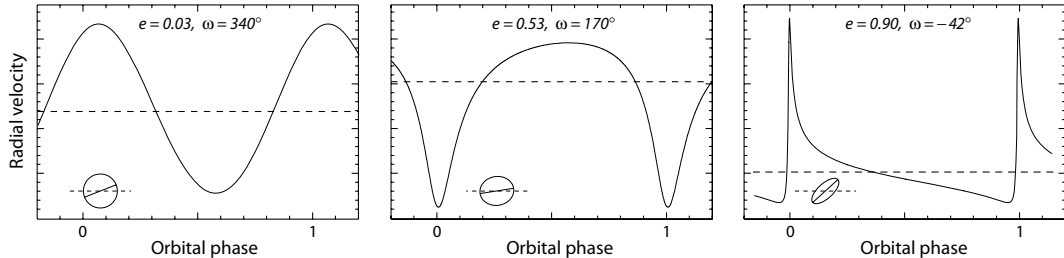


图 1-4：行星对主星造成的视向速度曲线示意图，分别代表不同的行星偏心率和轨道近心点取向。从左至右分别示意系统 HD 73256^[18]，HD 142022^[19] 和 HD 4113^[20]。此图取自文献 [21]。

另外由于视向速度需要通过尽可能多的主星谱线来确认谱线的位移，因而往往更容易探测到 FGKM 型主序星附近的大质量行星。在这里值得一提的是，由 Murphy 等人提出的激光频率梳法^[22]与 Molecule Iodine Cell 或 ThAr Lamps 等传统的光谱仪器定标方法相比，可以更稳定重复的覆盖同样的谱线区间，因此未来在视向速度方法上有相当可观的应用前景。

1.2.2 凌星法

从原理上来说，凌星法是通过测量行星遮挡主星时主星亮度（流量）的变化来探测行星的。如图 1-5 所示，系外行星处于恒星与地球的连线时被称作凌星（Transit）或主掩食（Primary Eclipse），而当恒星处于系外行星与地球的连线时则被称为掩星（Occultation）或次掩食（Secondary Eclipse）^①。

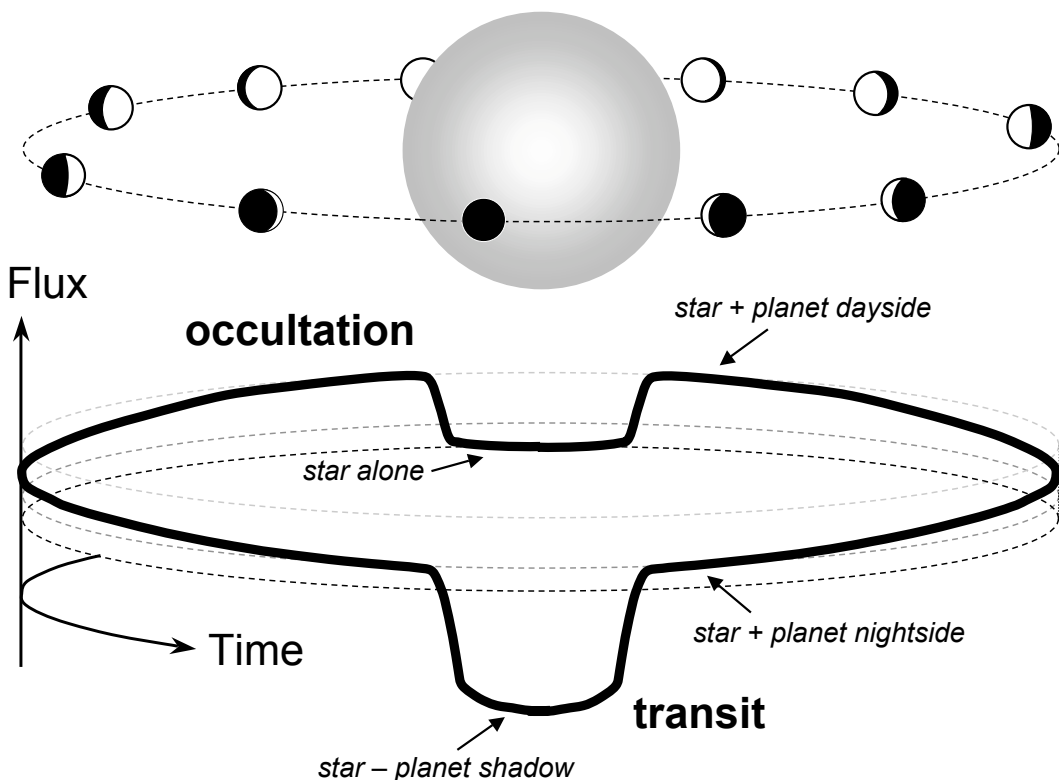


图 1-5: 凌星法探测行星示意图，凌星法探测行星示意图，上半部分表示不同的轨道时刻。下方则为整个系统观测到的流量变化。此图取自书籍 [23]。

事实上，掩食在太阳系内已属屡见，比如日、月食和金星凌日现象。虽然凌星法探测与视向速度法在原理上被 Struve 于同一年提出^[11]，但真正意义上的第一次观测到系外凌星却比视向速度晚了五年^[23]。当时视向速度已经发现了 64 颗系外行星，在对其中 6 颗行星系统的凌星监测中，行星 HD

^①凌星被约定特指半径较小天体遮挡大天体，而掩星则相反。双星中的掩食通常只用于大小相近天体的互相遮挡

209458 b 的主掩食成功被观测到^[24,25]。这种滞后主要是因为凌星发生的几何空间概率较低 ($p = R_s/a$)，与此同时还要求观测的相对测光精度至少达到 5 % (对应于木星凌太阳)，凌星法也因此通常结合巡天计划 (尤其是大视场巡天) 展开，因而提高测光精度、处理数据和去除假阳性信号也成了该方法的技术难关^①。目前地面上比较成熟的巡天项目，包括 The Trans-atlantic Exoplanet Survey (TrES)^[26]，XO^[27]，The Hungarian-made Automated Telescope Network (HAT)^[28] 以及 Wide Angle Search for Planets (SuperWASP)^[29]，相应空间巡天项目也有 Convection, Rotation and planetary Transits (CoRoT)^[30] 与 Kepler^[16]。

1.2.3 天体测量

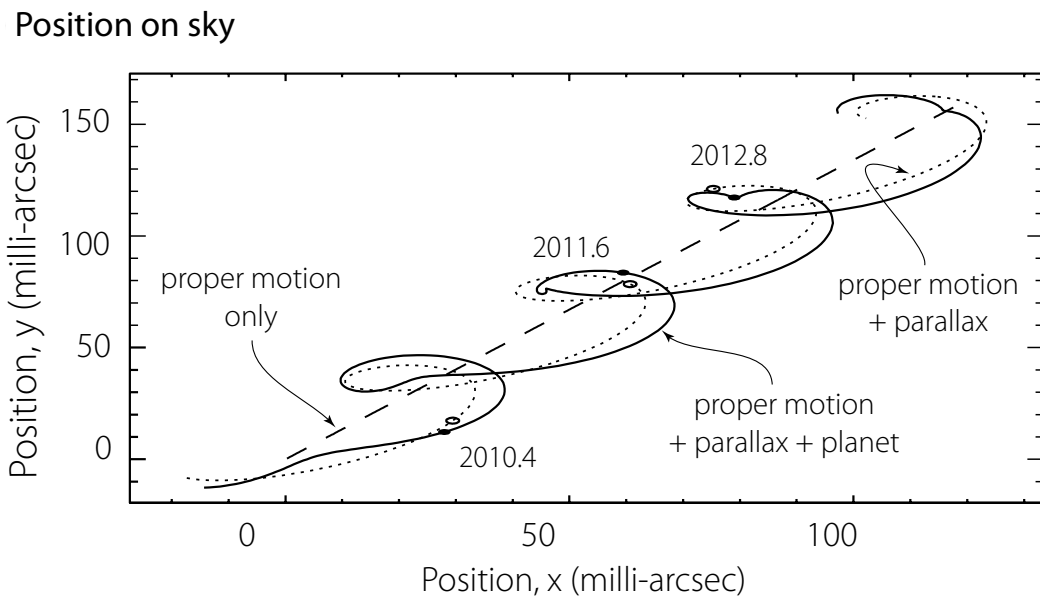


图 1-6：由于行星的存在，宿主恒星的天球坐标随着时间的变化示意图。此图取自文献 [21]。

和视向速度探测主星前后摆动不同，天体测量法 (Astrometry) 着重于观测恒星在天球上的左右摆动。行星对宿主恒星造成的来回振幅大小可用如下公式估算

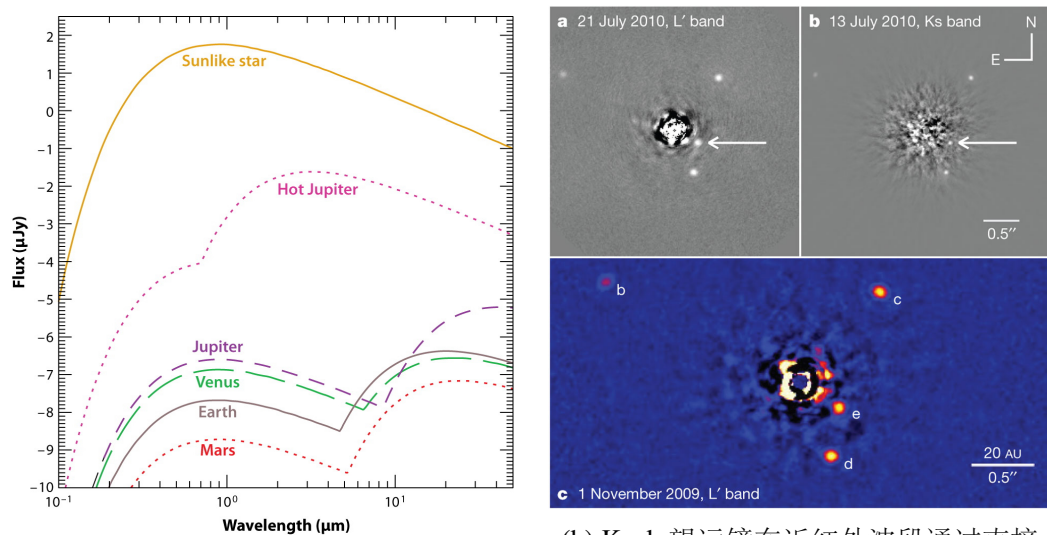
$$\alpha \approx \left(\frac{M_p}{M_s} \right) \left(\frac{a}{1\text{AU}} \right) \left(\frac{d}{1\text{pc}} \right)^{-1} \text{arcsec} \quad (1-2)$$

^①凌星法只能得到系外行星的候选体，一般还需额外使用其他方法联合认证该行星，如中天时刻变化 (Transit Timing Variation, 简称 TTV) 或者 RV。

如图 1-6 所示，天体测量法只需要恒星在天球球面上的经度纬度信息就可探测到行星，它也对主星的性质没有任何依赖，因而有其独特的优势，如可探测轨道倾角参数 i 。2013 年，Gaia 天体测量卫星成功发射，虽然目前来看科学数据尚未达到探测系外行星的精度^[31]，期待今后几年会有振奋人心的成果。

1.2.4 直接成像

中国古话有道是「耳听为虚，眼见为实」，直接成像法便可把行星直观地展示出来。技术上这其实并非易事：距太阳系几十个秒差距以外的行星与其主星的空间张角（Angular Separation）往往远小于望远镜分辨率。即使空间上能分辨，恒星的黑体辐射也往往比行星高近十个量级（图 1-7a）。在实际的观测中，对行星直接成像往往需要星冕仪（Coronagraph）或干涉仪（Interferometer）的辅助（如图 1-7b）。



(a) 可见光波段行星与主星的对比度可差至十个量级，因而直接成像法一般选择在长波范围（如红外波段）观测系外行星。图片摘自文献 [32]。

(b) Keck 望远镜在近红外波段通过直接成像得到的 HR 8799 系统。中心恒星的大部分光已被星冕仪遮挡，留下小部分噪声，与远处四颗行星。图片取自文献 [33]。

图 1-7：直接成像法探测系外行星。**(a)** 仪器接受类太阳恒星在 10 pc 以外的黑体辐射强度，其余为太阳系行星与热木星在此恒星周围黑体发射与发射的叠加流量。**(b)** Keck 望远镜利用角向较差与自适应光学技术直接成像观测到的 HR 8799 系统。

直接成像方法往往偏向于探测年轻的系统，如 HR 8799^[34]，Fomalhaut^[35] 和 β Pictoris^[36]，这是因为行星在其形成早期会拥有较强的近红外辐射。目前用于此方法的望远镜有 Hubble Space Telescope (HST)，Keck，Very Large Telescope

(VLT) 和 Gemini Planet Imager (GPI) 等^[34,37,38]。

1.2.5 其他方法

微引力透镜 (Microlensing)：本方法原理可以追溯到 1936 年，Einstein 发表了一篇计算前景星对视线方向上背景星引力放大率的文章^[39]。而且在第一颗用微引力透镜观测到的行星前，Mao 和 Paczynski 就已经从理论上提出了行星能在恒星引力透镜基础上造成额外的微引力透镜效^[40]。如今已经有 42 个通过微引力透镜发现的系外行星系统，包括 2 个双行星系统^①。在役的仪器主要有 Optical Gravitational Lensing Experiment (OGLE)^[41] 和 Microlensing Observations in Astrophysics (MOA)^[42]，它们一般会监测恒星密度较大的区域如银河系核球 (Galactic Bulge)。

计时法 (Timing)：传统计时法最典型的例子就是最早被发现的系统 — 脉冲星 PSR1257+12 行星系统^[13]。除了传统的 Pulsar Timing Variation 之外，可以说任何理论上拥有稳定周期信号的恒星计时变化都可以用来探测潜在的系外行星：如凌星计时变化 TTV^[43,44] 和星震时变^[45,46]。此方法应用前景也非常可观，特别是针对多行星系统动力学特征刻画^[47]。

除此以外，Perryman 列出了更为系统且详细的探测方法，对应的探测能力以及它们在将来可能的应用，请参见下页图 1-8。

1.3 行星形成理论

星际空间并不是空无一物的，英国天文学家 William Herchel 在 18 世纪末观测到恒星周围冷暗物质吸收带，我们的原太阳就是在这般空间环境中孕育而成^[49]。随着原初分子云坍缩，核心区域会演化成原恒星，而周围的物质会由于原初角动量守恒而沉降成盘状结构以及双极喷流 (Bipolar Jets)，比如观测到的 Herbig-Haro 型天体^[50]。

在恒星形成的早期，现有的观测证据主要集中在 T-Tauri 型天体上（又叫 Young Stellar Objects，简称 YSOs）。YSOs 通常会按照红外谱指数 ($\alpha_{\text{IR}} = \log \lambda F_\lambda / (\log \lambda)$) 分为 Class 0, Class I, Class II, Class III 四种类型^[51]（见图 1-10），它们恰恰各自对应着不同的原恒星演化阶段。

^①参见 NASA Exoplanet Archive: <http://exoplanetarchive.ipac.caltech.edu/>

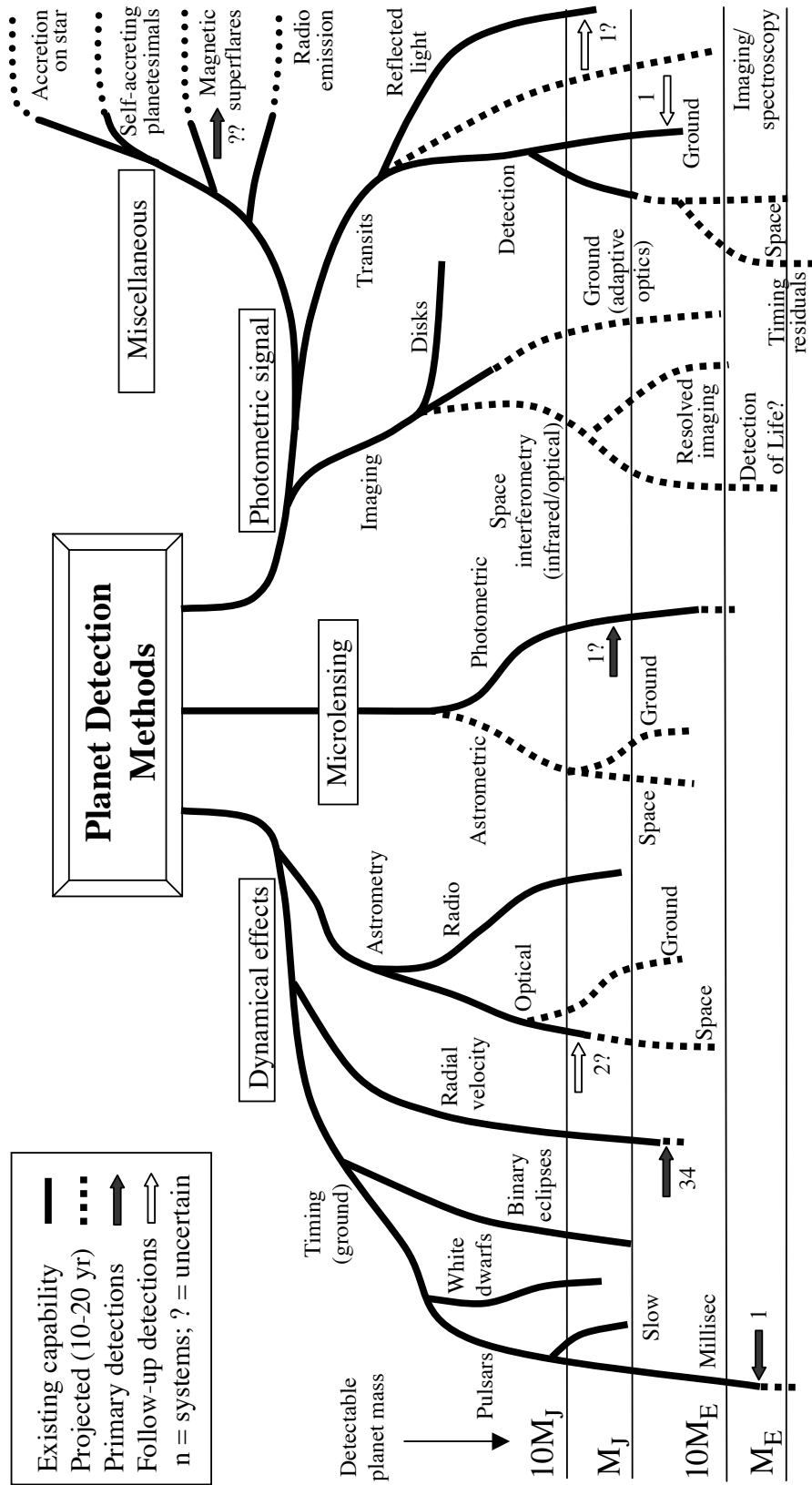


图 1-8：系外行星探测方法大全，关于图片说明请参见文献 [48]，此图摘录自该文献的第一幅插图。

从某种程度上说，此刻的原恒星盘（Protostellar Disk）已可被称作原行星盘^①（Protoplanetary Disk）。根据文献 [53]，由于恒星对周围气体的吸积^[54]、恒星的高能辐射^[55,56]，以及气体盘自身的粘滞性^[57,58]，角动量会从气体盘的内侧向外转移，原行星盘也会逐渐耗散。2001 年，Haisch 等人通过统计不同星团中的红外超恒星比例，发现原行星盘的存活时标在不到百万年（10 Myr）的量级^[59]。这对类木行星行形成有着非常重要的限制，因为木星必须在气体盘消

^①一般而言在恒星形成的早期，当恒星处于活跃吸积阶段时星周盘被称作原恒星盘，而在随后的行星形成阶段则被称作原行星盘。

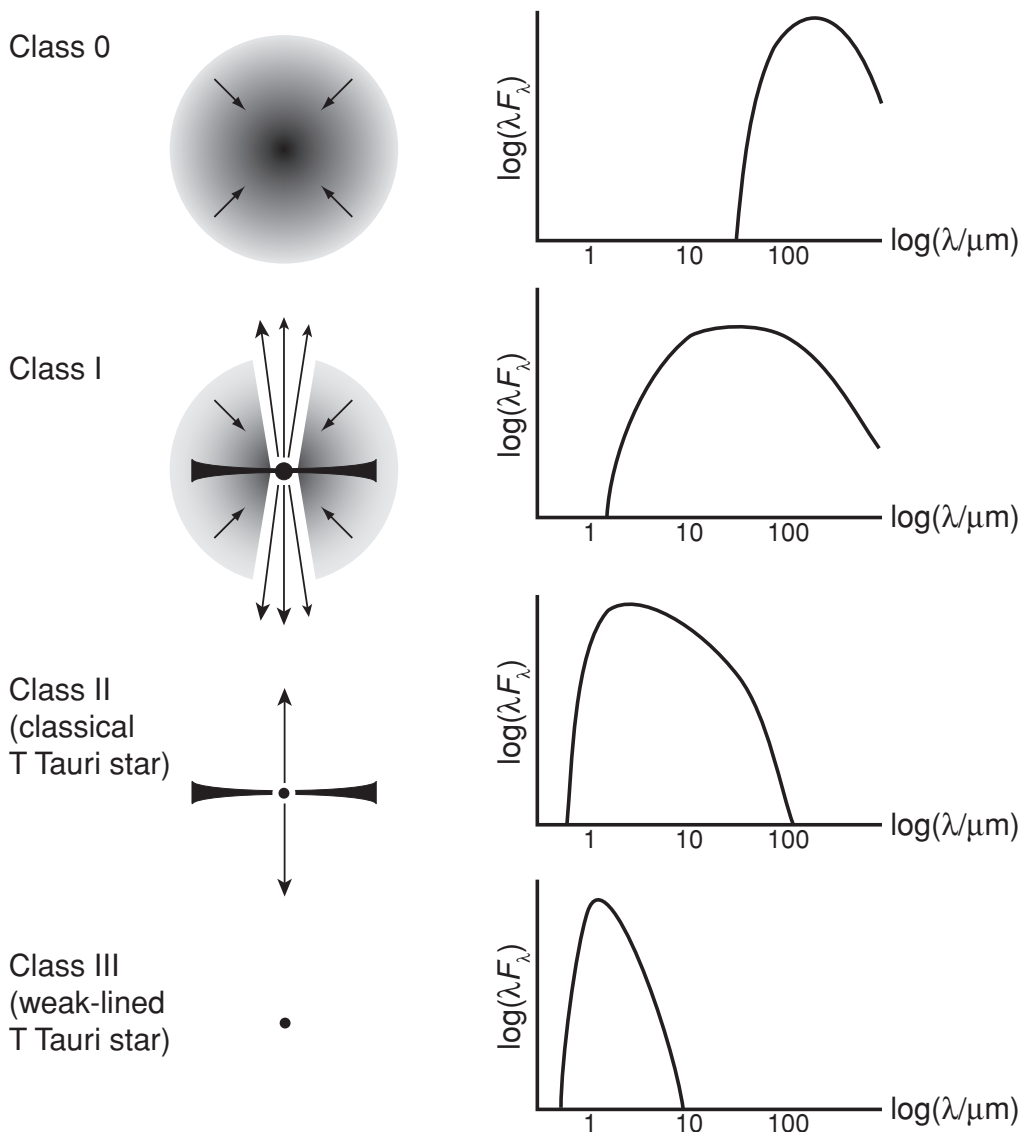


图 1-9: YSOs 按照红外谱指数划分的四种主要类别，图中背离黑体谱的红外突起部分又被称作红外超，它也是恒星是否存在盘的重要判据之一。此图取自书籍 [52]。

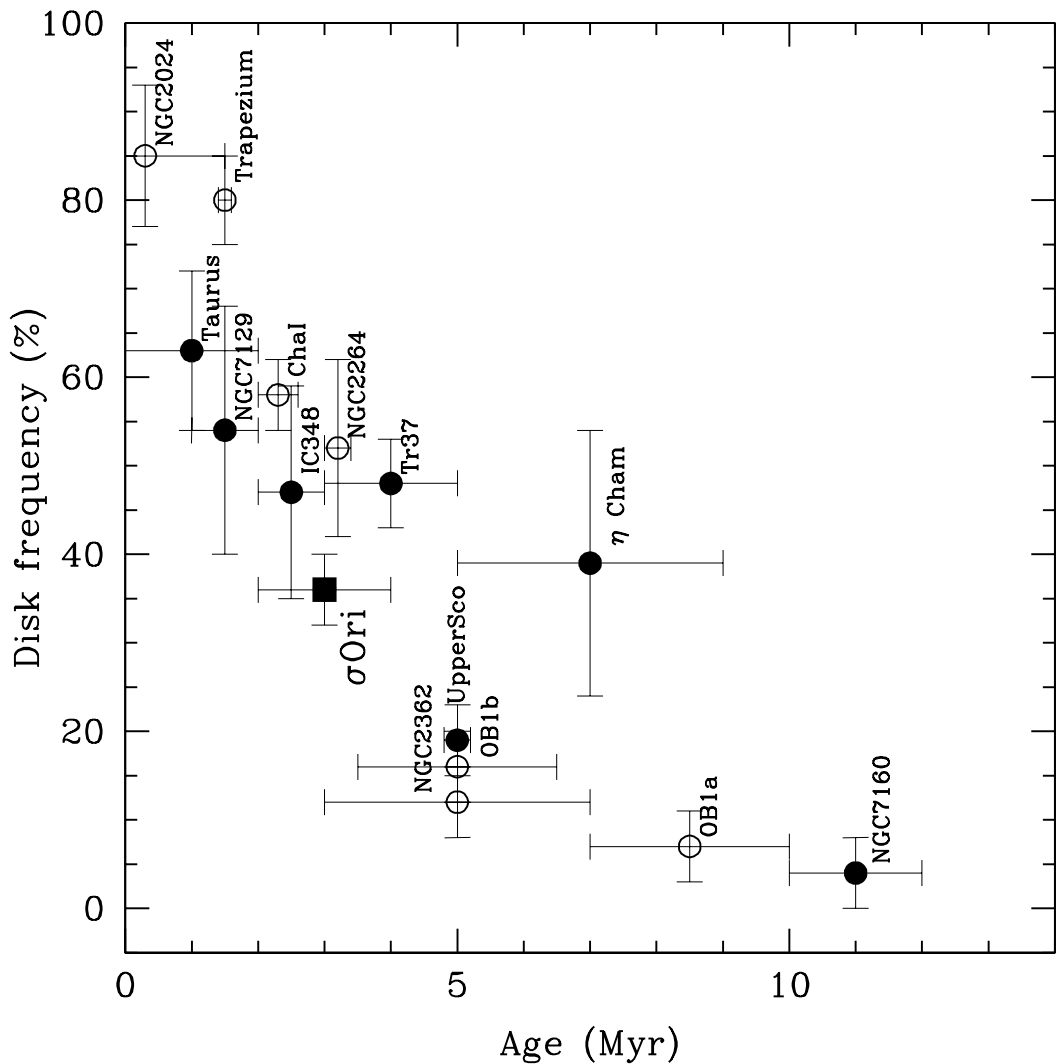


图 1-10: 不同星团红外超等效的原(恒)行星盘占所有星团成员的比例。此图可推断星团年龄在 5 Myr 左右，恒星周围的气体盘已近乎消散。此图取自文献 [61]。

散前吸收足够的气体来长成如今的质量大小^[60]。

1.3.1 基于太阳系的经典行星形成理论

早在 18 世纪中页，关于行星形成假说就已纷繁多样。其中康德、拉普拉斯等人提出的「星云假说」因可较好应用至太阳系行星系统中而发展壮大。表 1-1 给出了太阳系八大行星的物理参数，由此表可得出太阳系各大行星具有非常好的一致共面性，且除了水星以外都处于近圆轨道。如果将每个行星的重元素平均到打散至行星之间的空隙中，并且混入适量的氢、氦使得新的混合物

表 1-1: 太阳系八大行星物理参数与轨道参数, 轨道根素值依照 J2000 平赤道参考系, 数据取自 NASA/JPL 网站。

	$a(\text{AU})$	$P(\text{days})$	$M_p(M_\oplus)$	e	$i(\text{deg})$	$R_p(R_\oplus)$	$\rho(\text{g cm}^{-3})$
水星	0.3871	88.0	0.0553	0.2056	7.00	0.383	5.427
金星	0.7233	224.7	0.815	0.0068	3.39	0.949	5.243
地球	1.000	365.2	1	0.0167	0.00	1	5.514
火星	1.524	687.0	0.107	0.0934	1.85	0.532	3.933
木星	5.203	4331	317.8	0.0484	1.30	11.2	1.326
土星	9.537	10,747	95.2	0.0539	2.49	9.45	0.687
天王星	19.19	30,589	14.5	0.0473	0.77	4.01	1.271
海王星	30.07	59,800	17.1	0.0086	1.77	3.88	1.638

拥有与太阳相等的金属丰度^① ([Fe/H]), 这样得到的最小质量原太阳行星盘被称作 Minimum Solar Mass Nebula^[62,63], MMSN 气体盘的面密度拥有如下的幂率函数形式:

$$\Sigma_g = 1.7 \times 10^3 \left(\frac{r}{\text{AU}} \right)^{-3/2} \text{g cm}^{-2} \quad (1-3)$$

相应的固体盘的面密度分布同样可描述为:

$$\Sigma_s = 7.1 f_{\text{ice}} \left(\frac{r}{\text{AU}} \right)^{-3/2} \text{g cm}^{-2} \quad (1-4)$$

其中 f_{ice} 为雪线因子。在距离太阳 2.7 AU 以外, 水分子等会凝结成冰雪等固体物质, 因而此因子会从 1 增加至约 4.2^[64]。从此最小太阳星云模型出发, 假若在垂直方向上给它一个标高使其变为三维盘, 这就是经典太阳系行星形成模型的开端。根据文献 [65], 重元素物质 (以微米到厘米级尘埃形式存在) 会最先开始在垂直方向上沉降到盘的中平面; 紧接着固体物质 (Dust) 开始碰撞结合^[66–68] 或引力坍缩^[69–72] 成星子 (Planetesimal)。

在 MMSN 模型下, 星子的半径大概为公里量级。这样大小的星子和尘埃性质不同, 它可以脱离气体的阻尼力并通过自引力保持其结构。此时星子相互之间的引力作用变得显著, 它们会经过雪崩增长与寡头生长两个时期成长为原行星^[73–76]。原行星 (亦称做行星胚胎) 会在接下来分别演化成气态

^①在天文学中, 金属元素特指氢和氦以外的所有重元素。

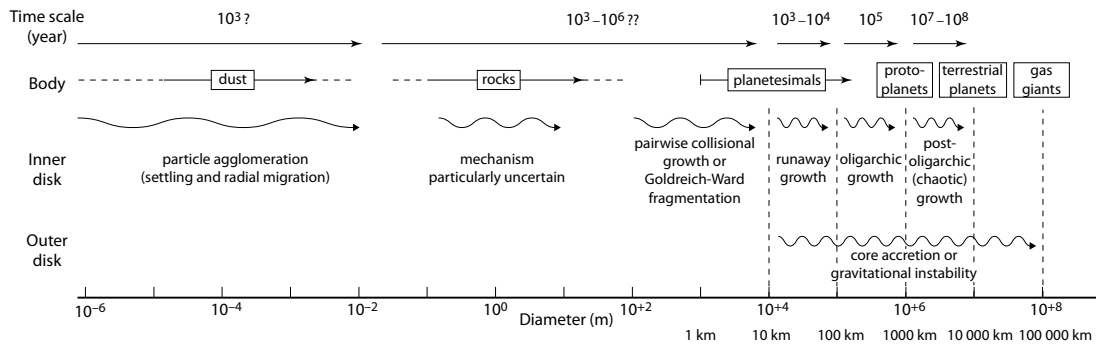


图 1-11: 基于太阳系的传统行星形成理论模型在不同阶段的说明图，其中「米级障碍」属于至今为止的重大难题。此图取自文献 [21]。

巨行星和类地行星，其中形成气态巨行星一般被认为通过核吸积模型（Core Accretion）^[77,78]，而类地行星则需要经历更多的动力学作用过程才能形成^[79]。

当然，行星形成也还存在很多问题与挑战，解释太阳系太行星还存在许多难关^[80,81]，数值模拟如 Nice 模型^[82]也并不能解释所有太阳系构型（尤其是水的来源^[83]），本文仅能作粗略介绍，图 1-11 为上述经典形成模型的核心各阶段过程的总结。

1.3.2 经典理论新挑战：系外行星

- 百花齐放
- 热木星
- Super Earth
- 单行星系统
- 多行星系统
- 主序后星周围
- 双星与星系团内
- 核坍缩

1.4 本文立意

第二章 数据观测与处理

第三章 行星形成与演化

第四章 统计与性质

第五章 总结与展望

逼近系外地球
系外卫星
系外行星大气
系外生命
人工智能分析数据
星震学
Citizen Science

致 谢

参考文献

- [1] 宣焕灿. 天文学史 [M]. [S.l.]: 北京高等教育出版社, 1992.
- [2] Wikipedia contributors. 天文学家 [EB/OL]. Wikipedia, The Free Encyclopedia, 2015 [2017/02/12].
https://en.wikipedia.org/wiki/List_of_astronomers.
- [3] COPERNICUS N. De revolutionibus orbium coelestium[EB]. Johannes Petreius, 1543.
- [4] BRUNO G. De l'Infinito, Universo e Mondi[EB]. 1584.
- [5] Woolf N, Angel J R. Astronomical Searches for Earth-Like Planets and Signs of Life[J/OL]. ARA&A, 1998, 36 : 507 – 538.
<http://dx.doi.org/10.1146/annurev.astro.36.1.507>.
- [6] Stern A, Mitton J. Pluto and Charon: Ice Worlds on the Ragged Edge of the Solar System[M]. 2005.
- [7] Baraffe I, Chabrier G, Barman T S, et al. Evolutionary models for cool brown dwarfs and extrasolar giant planets. The case of HD 209458[J/OL]. A&A, 2003, 402 : 701 – 712.
<http://dx.doi.org/10.1051/0004-6361:20030252>.
- [8] Jacob W S. On certain Anomalies presented by the Binary Star 70 Ophiuchi[J/OL]. MNRAS, 1855, 15 : 228.
<http://dx.doi.org/10.1093/mnras/15.9.228>.
- [9] Moulton F R. The limits of temporary stability of satellite motion, with an application to the question of the existence of an unseen body in the binary system 70 Ophiuchi[J/OL]. AJ, 1899, 20 : 33 – 37.
<http://dx.doi.org/10.1086/103096>.

- [10] van de Kamp P. Astrometric study of Barnard's star from plates taken with the 24-inch Sproul refractor.[J/OL]. AJ, 1963, 68 : 515 – 521.
<http://dx.doi.org/10.1086/109001>.
- [11] Struve O. Proposal for a project of high-precision stellar radial velocity work[J]. The Observatory, 1952, 72 : 199 – 200.
- [12] Latham D W, Stefanik R P, Mazeh T, et al. The unseen companion of HD114762 - A probable brown dwarf[J/OL]. Nature, 1989, 339 : 38 – 40.
<http://dx.doi.org/10.1038/339038a0>.
- [13] Wolszczan A, Frail D A. A planetary system around the millisecond pulsar PSR1257 + 12[J/OL]. Nature, 1992, 355 : 145 – 147.
<http://dx.doi.org/10.1038/355145a0>.
- [14] Walker G A H, Walker A R, Irwin A W, et al. A search for Jupiter-mass companions to nearby stars.[J/OL]. Icarus, 1995, 116 : 359 – 375.
<http://dx.doi.org/10.1006/icar.1995.1130>.
- [15] Mayor M, Queloz D. A Jupiter-mass companion to a solar-type star[J/OL]. Nature, 1995, 378 : 355 – 359.
<http://dx.doi.org/10.1038/378355a0>.
- [16] Borucki W J, Koch D, Basri G, et al. Kepler Planet-Detection Mission: Introduction and First Results[J/OL]. Science, 2010, 327 : 977.
<http://dx.doi.org/10.1126/science.1185402>.
- [17] Perryman M. The Exoplanet Handbook[M]. 2014.
- [18] Udry S, Mayor M, Clausen J V, et al. The CORALIE survey for southern extra-solar planets. X. A Hot Jupiter orbiting HD 73256[J/OL]. A&A, 2003, 407 : 679 – 684.
<http://dx.doi.org/10.1051/0004-6361:20030815>.
- [19] Eggenberger A, Mayor M, Naef D, et al. The CORALIE survey for southern exo-solar planets. XIV. HD 142022 b: a long-period planetary companion in a wide binary[J/OL]. A&A, 2006, 447 : 1159 – 1163.
<http://dx.doi.org/10.1051/0004-6361:20053720>.

- [20] Tamuz O, Ségransan D, Udry S, et al. The CORALIE survey for southern extra-solar planets. XV. Discovery of two eccentric planets orbiting <ASTROBJ>HD 4113</ASTROBJ> and <ASTROBJ>HD 156846</ASTROBJ>[J/OL]. *A&A*, 2008, 480 : L33–L36.
<http://dx.doi.org/10.1051/0004-6361:20078737>.
- [21] Perryman M. Resource Letter Exo-1: Exoplanets[J/OL]. *American Journal of Physics*, 2014, 82 : 552–563.
<http://dx.doi.org/10.1119/1.4830455>.
- [22] Murphy M T, Udem T, Holzwarth R, et al. High-precision wavelength calibration of astronomical spectrographs with laser frequency combs[J/OL]. *MNRAS*, 2007, 380 : 839–847.
<http://dx.doi.org/10.1111/j.1365-2966.2007.12147.x>.
- [23] Seager S. *Exoplanets*[M]. 2010.
- [24] Henry G W, Marcy G W, Butler R P, et al. A Transiting “51 Peg-like” Planet[J/OL]. *ApJL*, 2000, 529 : L41–L44.
<http://dx.doi.org/10.1086/312458>.
- [25] Charbonneau D, Brown T M, Latham D W, et al. Detection of Planetary Transits Across a Sun-like Star[J/OL]. *ApJL*, 2000, 529 : L45–L48.
<http://dx.doi.org/10.1086/312457>.
- [26] Alonso R, Brown T M, Torres G, et al. TrES-1: The Transiting Planet of a Bright K0 V Star[J/OL]. *ApJL*, 2004, 613 : L153–L156.
<http://dx.doi.org/10.1086/425256>.
- [27] McCullough P R, Stys J E, Valenti J A, et al. The XO Project: Searching for Transiting Extrasolar Planet Candidates[J/OL]. *PASP*, 2005, 117 : 783–795.
<http://dx.doi.org/10.1086/432024>.
- [28] Bakos G Á, Noyes R W, Kovács G, et al. HAT-P-1b: A Large-Radius, Low-Density Exoplanet Transiting One Member of a Stellar Binary[J/OL]. *ApJ*, 2007, 656 : 552–559.
<http://dx.doi.org/10.1086/509874>.

- [29] Pollacco D L, Skillen I, Collier Cameron A, et al. The WASP Project and the SuperWASP Cameras[J/OL]. *PASP*, 2006, 118 : 1407 – 1418.
<http://dx.doi.org/10.1086/508556>.
- [30] Barge P, Baglin A, Auvergne M, et al. Transiting exoplanets from the CoRoT space mission. I. CoRoT-Exo-1b: a low-density short-period planet around a G0V star[J/OL]. *A&A*, 2008, 482 : L17 – L20.
<http://dx.doi.org/10.1051/0004-6361:200809353>.
- [31] Gaia Collaboration, Prusti T, de Bruijne J H J, et al. The Gaia mission[J/OL]. *A&A*, 2016, 595 : A1.
<http://dx.doi.org/10.1051/0004-6361/201629272>.
- [32] Seager S, Deming D. Exoplanet Atmospheres[J/OL]. *ARA&A*, 2010, 48 : 631 – 672.
<http://dx.doi.org/10.1146/annurev-astro-081309-130837>.
- [33] Marois C, Zuckerman B, Konopacky Q M, et al. Images of a fourth planet orbiting HR 8799[J/OL]. *Nature*, 2010, 468 : 1080 – 1083.
<http://dx.doi.org/10.1038/nature09684>.
- [34] Marois C, Macintosh B, Barman T, et al. Direct Imaging of Multiple Planets Orbiting the Star HR 8799[J/OL]. *Science*, 2008, 322 : 1348.
<http://dx.doi.org/10.1126/science.1166585>.
- [35] Kalas P, Graham J R, Chiang E, et al. Optical Images of an Exosolar Planet 25 Light-Years from Earth[J/OL]. *Science*, 2008, 322 : 1345.
<http://dx.doi.org/10.1126/science.1166609>.
- [36] Lagrange A-M, Bonnefoy M, Chauvin G, et al. A Giant Planet Imaged in the Disk of the Young Star β Pictoris[J/OL]. *Science*, 2010, 329 : 57.
<http://dx.doi.org/10.1126/science.1187187>.
- [37] Chauvin G, Lagrange A-M, Dumas C, et al. Giant planet companion to 2MASSW J1207334-393254[J/OL]. *A&A*, 2005, 438 : L25 – L28.
<http://dx.doi.org/10.1051/0004-6361:200500116>.

- [38] Macintosh B, Graham J R, Ingraham P, et al. First light of the Gemini Planet Imager[J/OL]. *Proceedings of the National Academy of Science*, 2014, 111 : 12661 – 12666.
<http://dx.doi.org/10.1073/pnas.1304215111>.
- [39] Einstein A. Lens-Like Action of a Star by the Deviation of Light in the Gravitational Field[J/OL]. *Science*, 1936, 84 : 506 – 507.
<http://dx.doi.org/10.1126/science.84.2188.506>.
- [40] Mao S, Paczynski B. Gravitational microlensing by double stars and planetary systems[J/OL]. *ApJL*, 1991, 374 : L37 – L40.
<http://dx.doi.org/10.1086/186066>.
- [41] Udalski A, Paczynski B, Zebrun K, et al. The Optical Gravitational Lensing Experiment. Search for Planetary and Low-Luminosity Object Transits in the Galactic Disk. Results of 2001 Campaign[J]. *AcA*, 2002, 52 : 1 – 37.
- [42] Bond I A, Udalski A, Jaroszyński M, et al. OGLE 2003-BLG-235/MOA 2003-BLG-53: A Planetary Microlensing Event[J/OL]. *ApJL*, 2004, 606 : L155 – L158.
<http://dx.doi.org/10.1086/420928>.
- [43] Ford E B, Rowe J F, Fabrycky D C, et al. Transit Timing Observations from Kepler. I. Statistical Analysis of the First Four Months[J/OL]. *ApJS*, 2011, 197 : 2.
<http://dx.doi.org/10.1088/0067-0049/197/1/2>.
- [44] Xie J-W. Transit Timing Variation of Near-resonance Planetary Pairs: Confirmation of 12 Multiple-planet Systems[J/OL]. *ApJS*, 2013, 208 : 22.
<http://dx.doi.org/10.1088/0067-0049/208/2/22>.
- [45] Silvotti R, Schuh S, Janulis R, et al. A giant planet orbiting the ‘extreme horizontal branch’ star V391 Pegasi[J/OL]. *Nature*, 2007, 449 : 189 – 191.
<http://dx.doi.org/10.1038/nature06143>.
- [46] Murphy S J, Bedding T R, Shibahashi H. A Planet in an 840 Day Orbit around a Kepler Main-sequence A Star Found from Phase Modulation of Its Pulsations[J/OL]. *ApJL*, 2016, 827 : L17.
<http://dx.doi.org/10.3847/2041-8205/827/1/L17>.

- [47] Holman M J, Murray N W. The Use of Transit Timing to Detect Terrestrial-Mass Extrasolar Planets[J/OL]. *Science*, 2005, 307: 1288–1291.
<http://dx.doi.org/10.1126/science.1107822>.
- [48] Perryman M A C. Extra-solar planets[J/OL]. *Reports on Progress in Physics*, 2000, 63: 1209–1272.
<http://dx.doi.org/10.1088/0034-4885/63/8/202>.
- [49] Spitzer L. Physical processes in the interstellar medium[M/OL]. 1978.
<http://dx.doi.org/10.1002/9783527617722>.
- [50] Lequeux J. The Interstellar Medium[M/OL]. 2005.
<http://dx.doi.org/10.1007/b137959>.
- [51] Andre P, Ward-Thompson D, Barsony M. From Prestellar Cores to Protostars: the Initial Conditions of Star Formation[J]. *Protostars and Planets IV*, 2000: 59.
- [52] Armitage P J. Astrophysics of Planet Formation[M]. 2010: 294.
- [53] Armitage P J. Lecture notes on the formation and early evolution of planetary systems[J]. ArXiv Astrophysics e-prints, 2007.
- [54] Pringle J E. Accretion discs in astrophysics[J/OL]. *ARA&A*, 1981, 19: 137–162.
<http://dx.doi.org/10.1146/annurev.aa.19.090181.001033>.
- [55] Johnstone D, Hollenbach D, Bally J. Photoevaporation of Disks and Clumps by Nearby Massive Stars: Application to Disk Destruction in the Orion Nebula[J/OL]. *ApJ*, 1998, 499: 758–776.
<http://dx.doi.org/10.1086/305658>.
- [56] Hollenbach D, Johnstone D, Lizano S, et al. Photoevaporation of disks around massive stars and application to ultracompact H II regions[J/OL]. *ApJ*, 1994, 428: 654–669.
<http://dx.doi.org/10.1086/174276>.
- [57] Shakura N I, Sunyaev R A. Black holes in binary systems. Observational appearance.[J]. *A&A*, 1973, 24: 337–355.

- [58] Gammie C F. Layered Accretion in T Tauri Disks[J/OL]. ApJ, 1996, 457 : 355.
<http://dx.doi.org/10.1086/176735>.
- [59] Jr Haisch K E, Lada E A, Lada C J. Disk Frequencies and Lifetimes in Young Clusters[J/OL]. ApJL, 2001, 553 : L153 – L156.
<http://dx.doi.org/10.1086/320685>.
- [60] Williams J P, Cieza L A. Protoplanetary Disks and Their Evolution[J/OL]. ARA&A, 2011, 49 : 67 – 117.
<http://dx.doi.org/10.1146/annurev-astro-081710-102548>.
- [61] Hernández J, Hartmann L, Megeath T, et al. A Spitzer Space Telescope Study of Disks in the Young σ Orionis Cluster[J/OL]. ApJ, 2007, 662 : 1067 – 1081.
<http://dx.doi.org/10.1086/513735>.
- [62] Weidenschilling S J. The distribution of mass in the planetary system and solar nebula[J/OL]. Ap&SS, 1977, 51 : 153 – 158.
<http://dx.doi.org/10.1007/BF00642464>.
- [63] Hayashi C. Structure of the Solar Nebula, Growth and Decay of Magnetic Fields and Effects of Magnetic and Turbulent Viscosities on the Nebula[J/OL]. Progress of Theoretical Physics Supplement, 1981, 70 : 35 – 53.
<http://dx.doi.org/10.1143/PTPS.70.35>.
- [64] Ida S, Lin D N C. Toward a Deterministic Model of Planetary Formation. I. A Desert in the Mass and Semimajor Axis Distributions of Extrasolar Planets[J/OL]. ApJ, 2004, 604 : 388 – 413.
<http://dx.doi.org/10.1086/381724>.
- [65] Dullemond C P, Dominik C. Dust coagulation in protoplanetary disks: A rapid depletion of small grains[J/OL]. A&A, 2005, 434 : 971 – 986.
<http://dx.doi.org/10.1051/0004-6361:20042080>.
- [66] Beuther H, Klessen R S, Dullemond C P, et al. Protostars and Planets VI[J/OL]. Protostars and Planets VI, 2014.
http://dx.doi.org/10.2458/azu_uapress_9780816531240.

- [67] Weidenschilling S J, Spaute D, Davis D R, et al. Accretional Evolution of a Planetesimal Swarm[J/OL]. *Icarus*, 1997, 128 : 429 – 455.
<http://dx.doi.org/10.1006/icar.1997.5747>.
- [68] Blum J, Wurm G. The Growth Mechanisms of Macroscopic Bodies in Protoplanetary Disks[J/OL]. *ARA&A*, 2008, 46 : 21 – 56.
<http://dx.doi.org/10.1146/annurev.astro.46.060407.145152>.
- [69] Safronov V S. Evolution of the protoplanetary cloud and formation of the earth and planets.[M]. 1972.
- [70] Goldreich P, Ward W R. The Formation of Planetesimals[J/OL]. *ApJ*, 1973, 183 : 1051 – 1062.
<http://dx.doi.org/10.1086/152291>.
- [71] Youdin A N, Shu F H. Planetesimal Formation by Gravitational Instability[J/OL]. *ApJ*, 2002, 580 : 494 – 505.
<http://dx.doi.org/10.1086/343109>.
- [72] Chiang E, Youdin A N. Forming Planetesimals in Solar and Extrasolar Nebulae[J/OL]. *Annual Review of Earth and Planetary Sciences*, 2010, 38 : 493 – 522.
<http://dx.doi.org/10.1146/annurev-earth-040809-152513>.
- [73] Greenberg R, Hartmann W K, Chapman C R, et al. Planetesimals to planets - Numerical simulation of collisional evolution[J/OL]. *Icarus*, 1978, 35 : 1 – 26.
[http://dx.doi.org/10.1016/0019-1035\(78\)90057-X](http://dx.doi.org/10.1016/0019-1035(78)90057-X).
- [74] Kokubo E, Ida S. On Runaway Growth of Planetesimals[J/OL]. *Icarus*, 1996, 123 : 180 – 191.
<http://dx.doi.org/10.1006/icar.1996.0148>.
- [75] Rafikov R R. The Growth of Planetary Embryos: Orderly, Runaway, or Oligarchic?[J/OL]. *AJ*, 2003, 125 : 942 – 961.
<http://dx.doi.org/10.1086/345971>.
- [76] Lissauer J J. Planet formation[J/OL]. *ARA&A*, 1993, 31 : 129 – 174.
<http://dx.doi.org/10.1146/annurev.aa.31.090193.001021>.

- [77] Mizuno H. Formation of the Giant Planets[J/OL]. *Progress of Theoretical Physics*, 1980, 64 : 544 – 557.
<http://dx.doi.org/10.1143/PTP.64.544>.
- [78] Bodenheimer P, Pollack J B. Calculations of the accretion and evolution of giant planets The effects of solid cores[J/OL]. *Icarus*, 1986, 67 : 391 – 408.
[http://dx.doi.org/10.1016/0019-1035\(86\)90122-3](http://dx.doi.org/10.1016/0019-1035(86)90122-3).
- [79] Chambers J E, Wetherill G W. Making the Terrestrial Planets: N-Body Integrations of Planetary Embryos in Three Dimensions[J/OL]. *Icarus*, 1998, 136 : 304 – 327.
<http://dx.doi.org/10.1006/icar.1998.6007>.
- [80] Walsh K J, Morbidelli A, Raymond S N, et al. A low mass for Mars from Jupiter's early gas-driven migration[J/OL]. *Nature*, 2011, 475 : 206 – 209.
<http://dx.doi.org/10.1038/nature10201>.
- [81] Morbidelli A, Levison H F, Tsiganis K, et al. Chaotic capture of Jupiter's Trojan asteroids in the early Solar System[J/OL]. *Nature*, 2005, 435 : 462 – 465.
<http://dx.doi.org/10.1038/nature03540>.
- [82] Gomes R, Levison H F, Tsiganis K, et al. Origin of the cataclysmic Late Heavy Bombardment period of the terrestrial planets[J/OL]. *Nature*, 2005, 435 : 466 – 469.
<http://dx.doi.org/10.1038/nature03676>.
- [83] Raymond S N, O'Brien D P, Morbidelli A, et al. Building the terrestrial planets: Constrained accretion in the inner Solar System[J/OL]. *Icarus*, 2009, 203 : 644 – 662.
<http://dx.doi.org/10.1016/j.icarus.2009.05.016>.
- [84] Apai D, Lauretta D S. Planet Formation and Protoplanetary Dust[M] // Apai D A, Lauretta D S. *Protoplanetary Dust: Astrophysical and Cosmochemical Perspectives*. 2010 : 1 – 26.

-
- [85] Toomre A. On the gravitational stability of a disk of stars[J/OL]. *ApJ*, 1964, 139 : 1217 – 1238.
<http://dx.doi.org/10.1086/147861>.
 - [86] Wang S, Zhang H, Zhou J-L, et al. Planetary Transit Candidates in the CSTAR Field: Analysis of the 2008 Data[J/OL]. *ApJS*, 2014, 211 : 26.
<http://dx.doi.org/10.1088/0067-0049/211/2/26>.
 - [87] Murray C D, Dermott S F. Solar system dynamics[M]. 1999.
 - [88] ANON. UKSTU handbook: the U.K. Schmidt telescope of the Royal Observatory, Edinburgh[M/OL]. 1983.
<https://books.google.com.hk/books?id=80YoNQEACAAJ>.
 - [89] NEWTON I. *Philosophiæ Naturalis Principia Mathematica*[EB]. 1687.
 - [90] 李竟, 余恒, 崔辰州. 英汉天文学名词 *An English-Chinese Dictionary of Astronomy*[M]. [S.l.] : 中国科学技术出版社, 2015.

附录 A 文内常用约定

A .1 物理符号含义

A .2 首字母缩写

附录 B 二体运动

简历与科研成果

学位论文出版授权书

本人完全同意《中国优秀博硕士学位论文全文数据库出版章程》（以下简称“章程”），愿意将本人的学位论文提交“中国学术期刊（光盘版）电子杂志社”在《中国博士学位论文全文数据库》、《中国优秀硕士学位论文全文数据库》中全文发表。《中国博士学位论文全文数据库》、《中国优秀硕士学位论文全文数据库》可以以电子、网络及其他数字媒体形式公开出版，并同意编入《中国知识资源总库》，在《中国博硕士学位论文评价数据库》中使用和在互联网上传播，同意按“章程”规定享受相关权益。

作者签名：_____
____年____月____日

论文题名	(论文标题)				
研究生学号	DG1326007	所在院系	天文与空间科学学院	学位年度	2013
论文级别	<input type="checkbox"/> 硕士 <input type="checkbox"/> 硕士专业学位 <input checked="" type="checkbox"/> 博士 <input type="checkbox"/> 博士专业学位 (请在方框内画勾)				
作者电话	15950459632	作者 Email	mengzy1989@gmail.com		
第一导师姓名	周济林 教授	导师电话	13512540416		

论文涉密情况：

不保密

保密，保密期：____年____月____日至____年____月____日

注：请将该授权书填写后装订在学位论文最后一页（南大封面）。

